(8) 検討結果

1)解析モデル及びパラメータ

簡易法のプログラム及び強度低下曲線データを用いて、上述の解析モデル、パラメータ 及び入力地震波を用いて解析を行った。

物性値

土粒子の密度 ρs [g/cm3] ※

自然含水比 wn [%] ※

湿潤密度 ρt [g/cm3] ※

色	番号	Layer name 地層名	γt [kN/m3]	γsat [kN/m3]	D50 [mm]	cpeak [kPa]	φpeak [deg]
	1	盛土(不飽和)	17.279	17.603	0.0025	27.3	21.2
	2	盛土(不飽和)	17.279	17.603	0.0025	27.3	21.2
	3	盛土(飽和)	17.279	17.603	0.0025	27.3	21.2
	4	基礎地盤	17.279	17.603	0.0021	0	27.4
	5	基礎地盤	17.279	17.603	0.0021	500	27.4

地層2

2.633

34.4

1.762

地層3

2.633

34.4 1.762 地層4

2.633

34.4

1.762

地層5

2.633

34.4

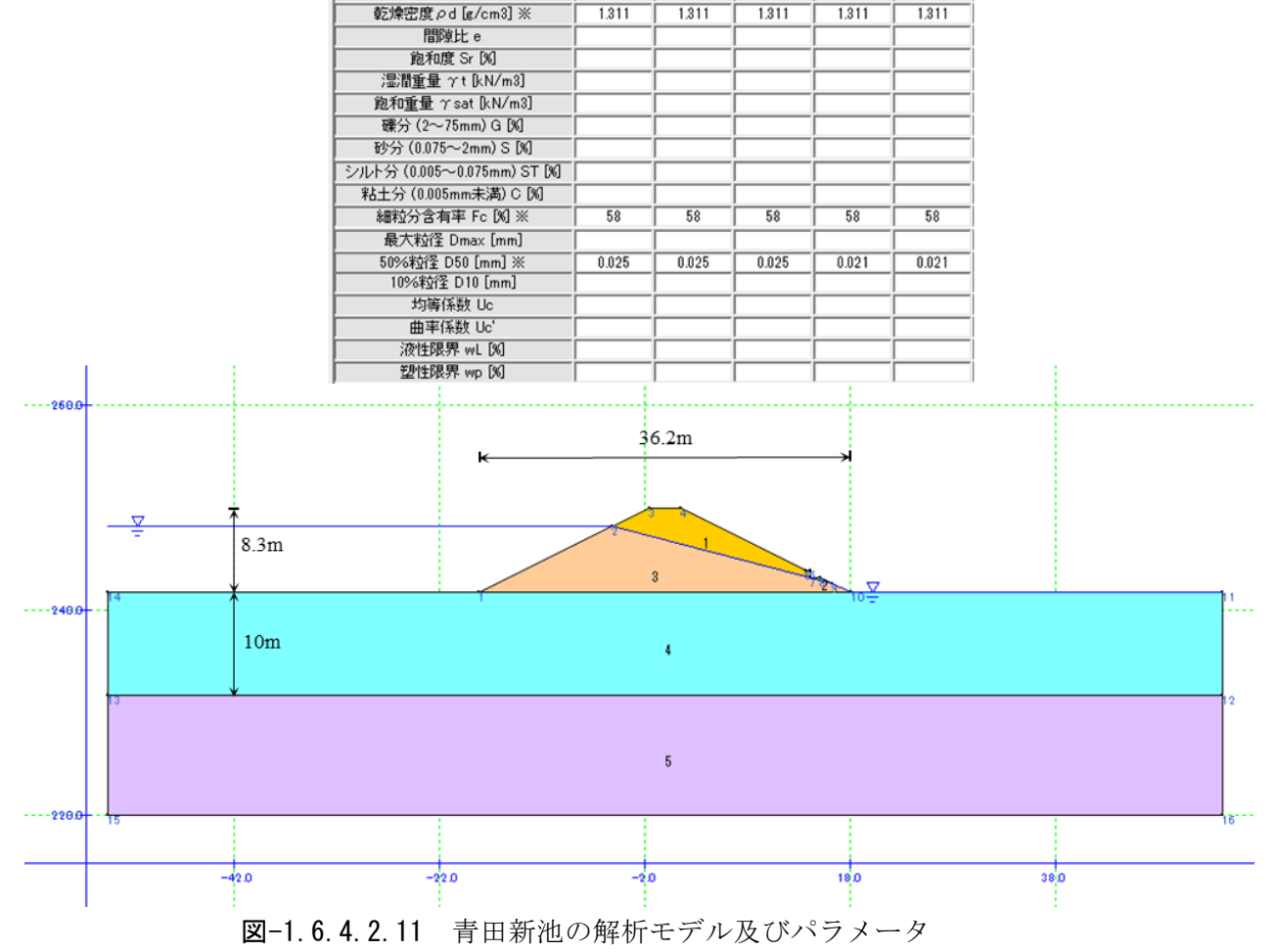
1.762

地層1

2.633

34.4

1.762



2) 応答加速度分布モデル

簡易法における応答加速度の分布モデルは、既往の解析事例をもとに、以下のように設 定した。

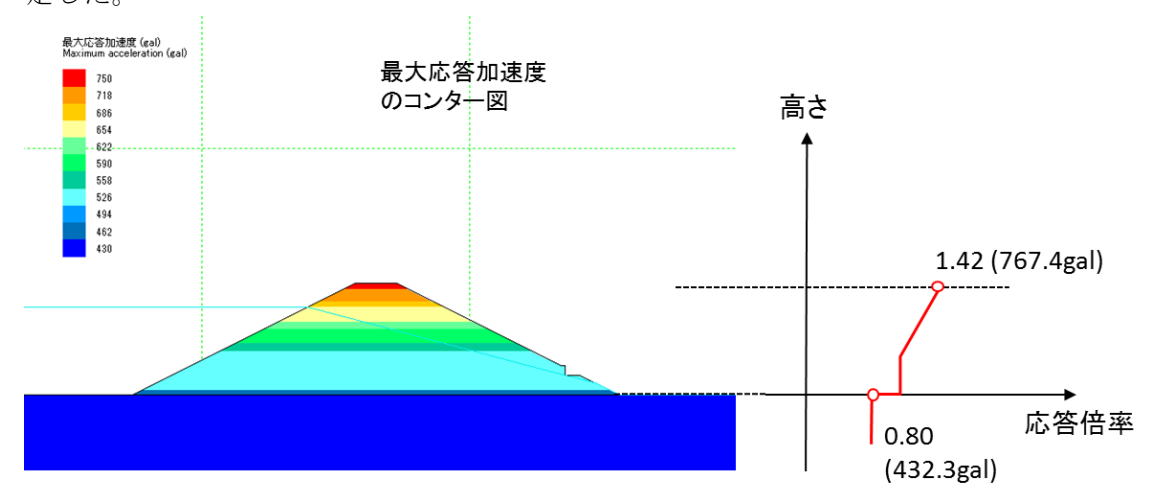


図-1.6.4.2.12 青田新池における応答加速度分布モデル

3) 強度低下モデル

堤体の強度低下モデルは、以下のように設定した。

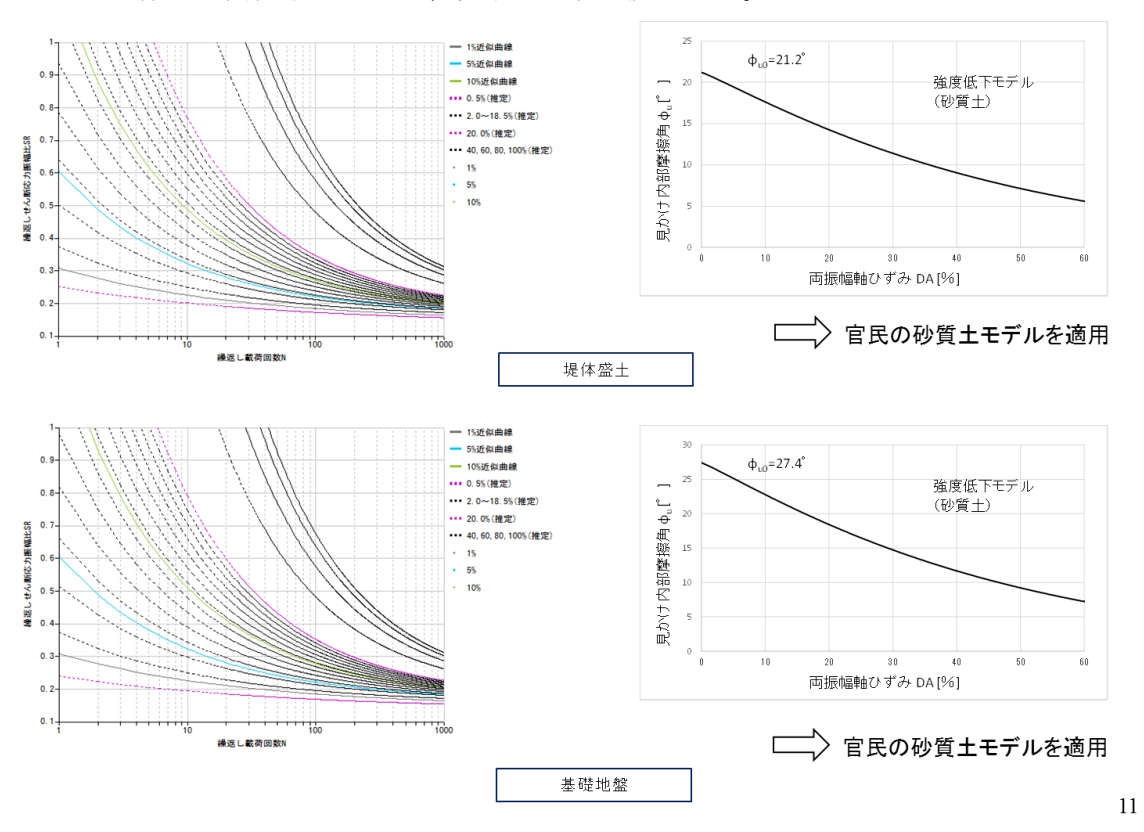


図-1.6.4.2.13 青田新池における強度低下モデル

3) 解析結果 (すべり変形量)

設定した応答加速度分布モデル及び強度低下モデルを用いて、塑性すべり変形解析を実施した。

解析結果を以下に示す。

設定した地震動に対して、下流側へのすべり変形量は195.7cmに達した(図-1.6.4.2.18)。 地震発生時の貯水位はほぼ満水位 (FWL.248.2m) であり、天端 (EL.250.0m) から水位 までの高さが 2m 弱であったことを考慮すると、本結果は、実際に堤体が決壊した現象を 概ね再現していると考えられる。

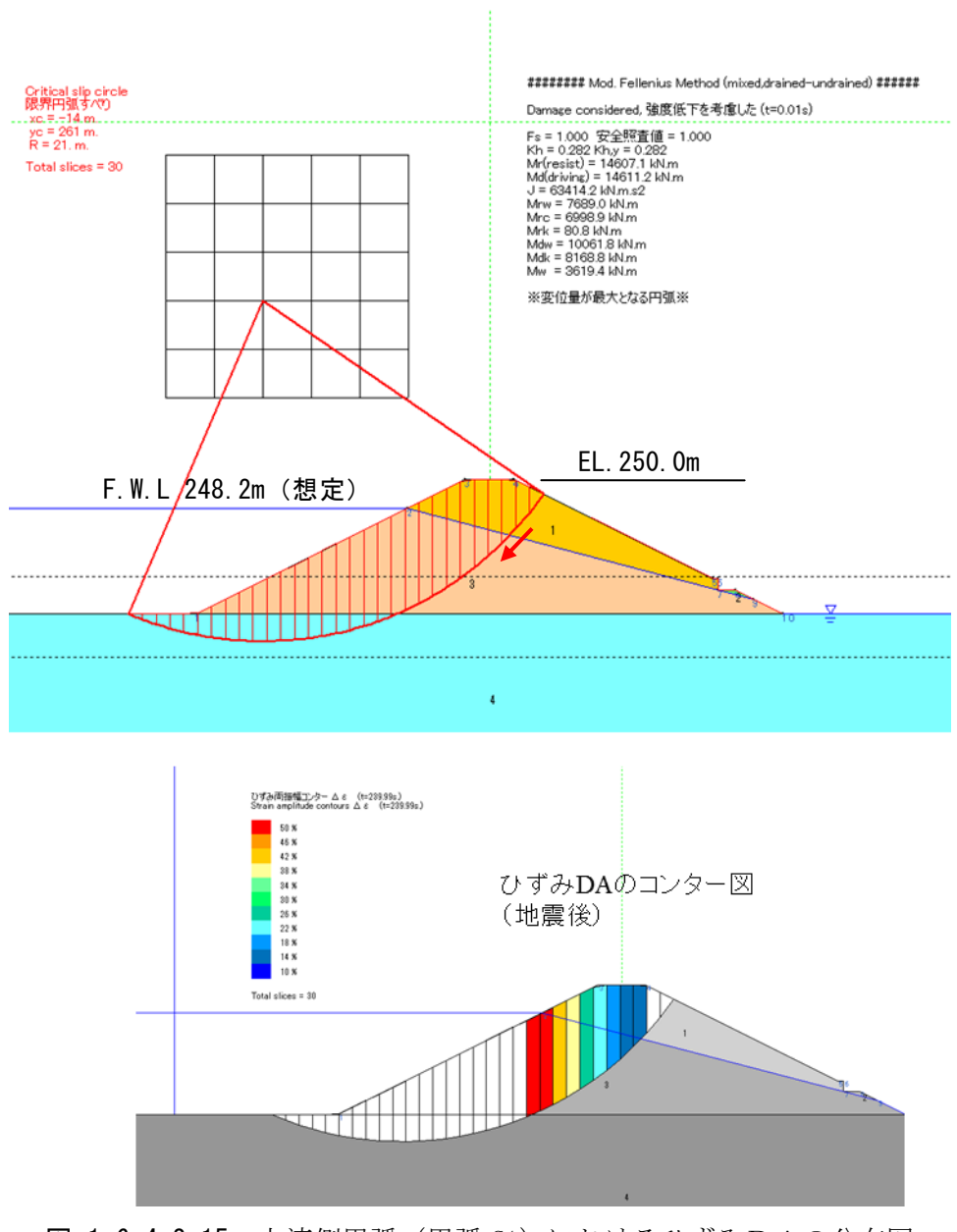


図-1.6.4.2.15 上流側円弧 (円弧 C1) におけるひずみDAの分布図

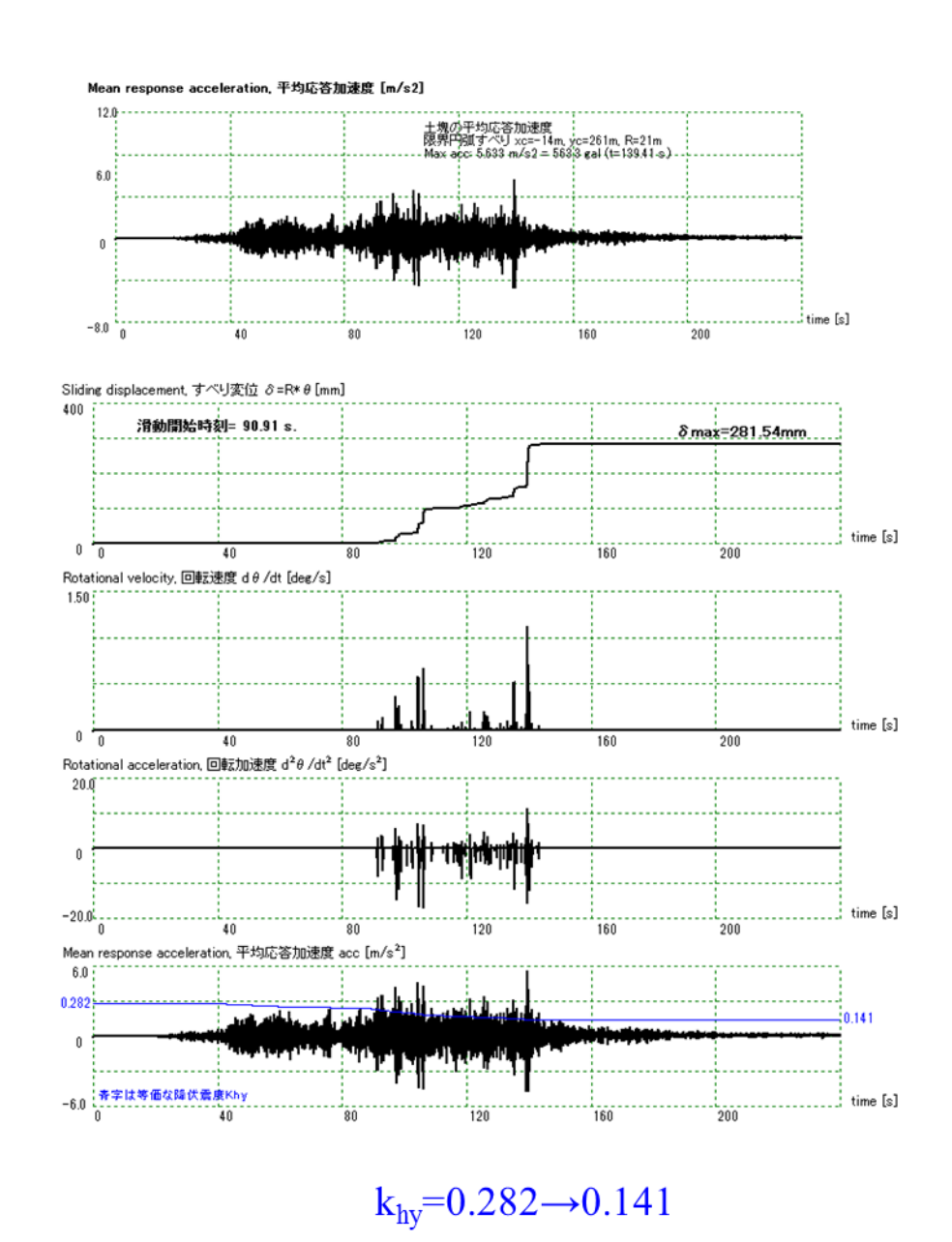
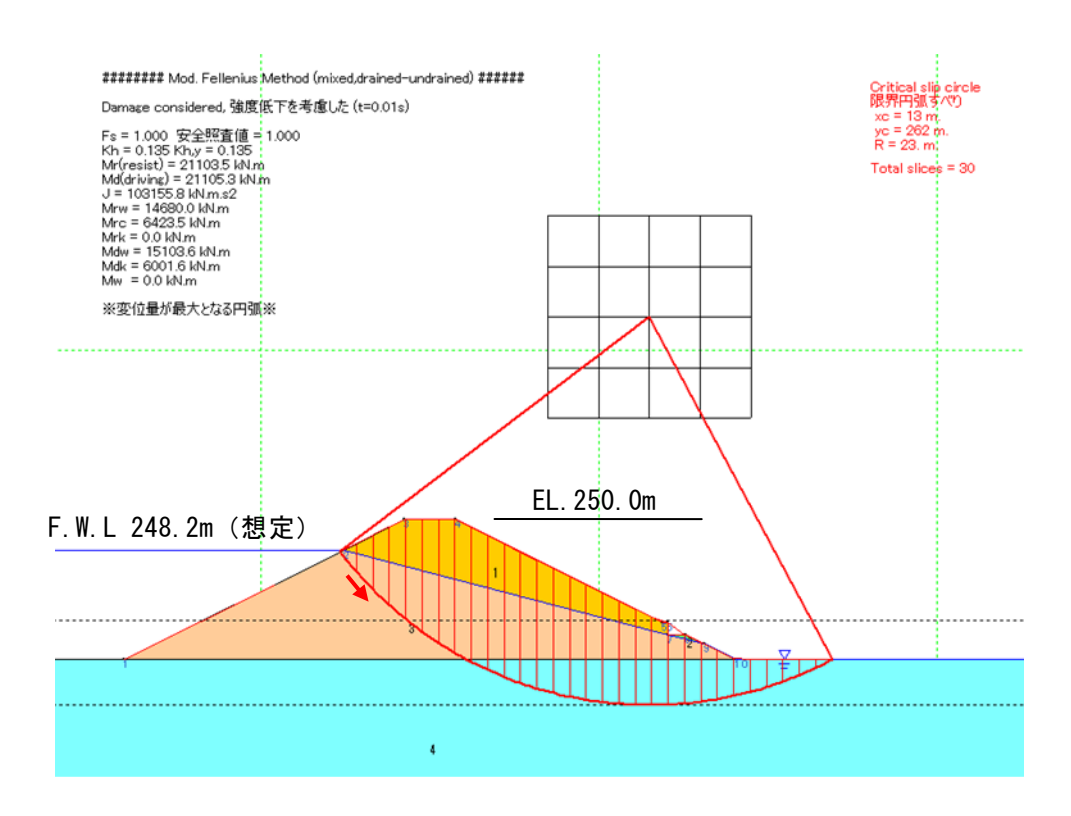


図-1.6.4.2.16 上流側円弧 (円弧 C1) に作用する加速度波形とすべり変位量



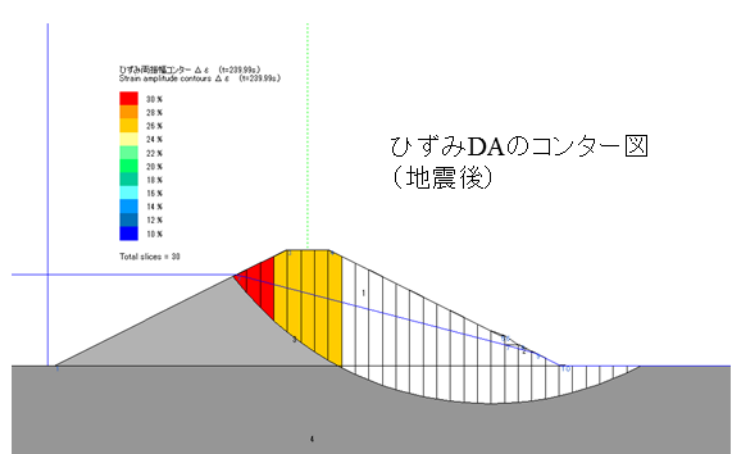


図-1.6.4.2.17 下流側円弧 (円弧 D1) におけるひずみDAの分布図

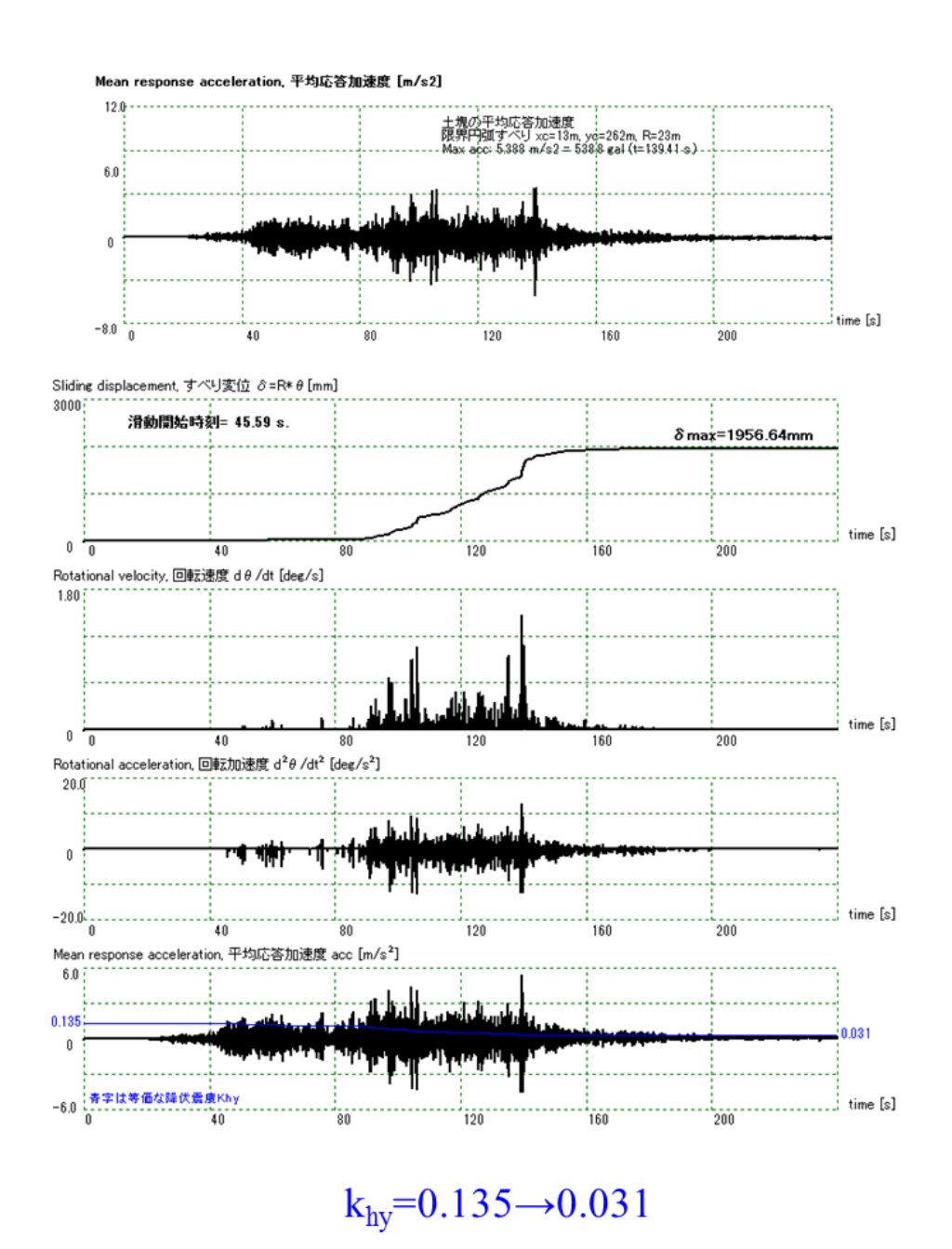


図-1.6.4.2.18 上流側円弧 (円弧 C1) に作用する加速度波形とすべり変位量